



# БИООРГАНИЧЕСКАЯ ХИМИЯ

том 16 \* №11\* 1990

УДК 577.413.4

© 1990 г.

*Н. В. Амирханов, В. Ф. Зарытова, А. С. Левина*

## РЕАКЦИОННОСПОСОБНЫЕ ПРОИЗВОДНЫЕ ОЛИГОНУКЛЕОТИДОВ, СОДЕРЖАЩИХ МЕТИЛФОСФОНАТНЫЕ ГРУППЫ

VI \*. ПОВЫШЕНИЕ ЭФФЕКТИВНОСТИ НАПРАВЛЕННОГО ВОЗДЕЙСТВИЯ  
НА НУКЛЕИНОВЫЕ КИСЛОТЫ АЛКИЛИРУЮЩИХ ПРОИЗВОДНЫХ  
МЕТИЛФОСФОНАТНЫХ АНАЛОГОВ ОЛИГОНУКЛЕОТИДОВ  
В ПРИСУТСТВИИ ЭФФЕКТОРОВ — 3',5'-БИС-Н-(2-ГИДРОКСИЭТИЛ)  
ФЕНАЗИНИЕВЫХ ПРОИЗВОДНЫХ ОЛИГОНУКЛЕОТИДОВ

*Новосибирский институт биоорганической химии СО АН СССР*

Продемонстрирована возможность стабилизации комплементарных комплексов, образованных как  $R_p$ , так и  $S_p$ -изомерами метилфосфонатных аналогов олигонуклеотидов (МФАО) с ДНК-матрицей, в присутствии непосредственно примыкающего к одному из концов МФАО 3',5'-бис-Н-(2-гидроксиэтил)феназиниевого производного олигонуклеотида (эффектора), комплементарного соседнему участку ДНК-матрицы. Установлено, что температура плавления дуплекса, образованного ДНК-матрицей  $C_5A_8ACAATG$ , метилфосфонатными аналогами октатимицилата  $Tp(TpTp)_3TpSCH_3$  ( $R_p$ -или  $S_p$ -изомеры) (где  $p$  — метилфосфонатный остаток) и эффектора  $PhNH(CH_2)_2NHpCATTGTpNH(CH_2)_2NHPHn$ , на 7–13° С выше, чем температура плавления дуплекса в отсутствие эффектора. Выявлено, что такое повышение стабильности комплекса обеспечивает значительное увеличение предельной степени модификации ДНК-мишени при ее сайт-направленном алкилировании (например, при 40° С для алкилирующего реагента на основе  $R_p$ -изомера  $Tp(TpTp)_3TpNHCH_2C_8H_{14}N \cdot (CH_2CH_2Cl)(CH_3)$  в 5–6 раз). На примере октатимицилатных реагентов показано, что позиционная направленность алкилирования ДНК-мишени алкилирующими производными МФАО в присутствии эффектора практически не отличается от позиционной направленности алкилирования реагентами на основе олигонуклеотидов с природными фосфодиэфирными межнуклеотидными связями.

Известно, что метилфосфонатные аналоги олигонуклеотидов (МФАО) устойчивы к действию нуклеаз и лучше, чем природные олигонуклеотиды, проникают через клеточные мембранны [2–5]. Эти привлекательные свойства МФАО открывают перспективу их использования для направленного подавления экспрессии генов [6–11]. Одним из серьезных препятствий к их широкому использованию является то, что они образуют комплементарные комплексы пониженной стабильности. Это обусловлено тем, что при синтезе каждый метилфосфонатный фрагмент образуется в виде смеси двух диастереомеров с  $R_p$ - или  $S_p$ -конфигурацией, причем последний практически не способен участвовать в комплементарном спаривании [3, 12]. Стандартный прием повышения стабильности комплексов за счет увеличения длины олигонуклеотида в данном случае не может привести к такому же эффекту, как в случае нормальных, природных фосфодиэфирных олигонуклеотидов, поскольку с увеличением числа метилфосфонатных фрагментов возрастает число изомеров, в том числе с неблагоприятной для комплексообразования конфигурацией.

\* Сообщение V см. [1]. Сокращения: НК — нуклеиновая кислота, МФАО — метилфосфонатные аналоги олигонуклеотидов, Phn — остаток N-(2-гидроксиэтил)феназиния,  $CH_2RCl$  — 4-(N-метил-N-2-хлорэтамино)бензил,  $p$  — метилфосфонатный остаток в нуклеотидах. Римские цифры со значком «а» и «б» соответствуют производным индивидуальных диастереомеров МФАО, имеющих абсолютные конфигурации заместителей  $R_p$  и  $S_p$  при метилфосфонатном атоме фосфора; римские цифры с буквой «в» соответствуют фосфодиэфирным производным октатимицилата. В работе использованы олигонуклеотиды только дезоксирияда — префикс «д» перед названием олиго-дезоксирибонуклеотидов опущен.

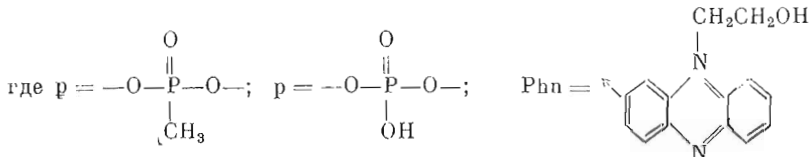
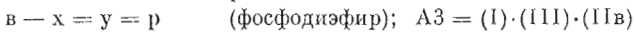
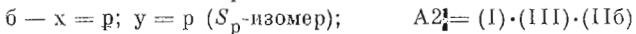
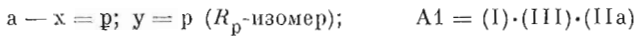
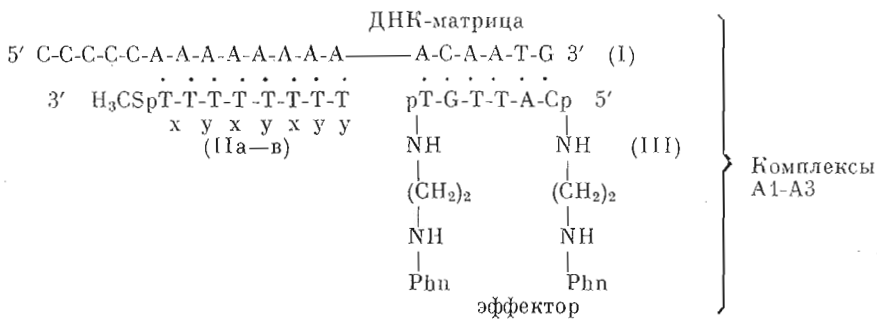
Поэтому разработка подходов по стабилизации комплементарных комплексов МФАО приобретает особую актуальность.

Установлено, что эффективность сайт-специфического воздействия олигонуклеотидов и их производных на НК-мишень зависит от стабильности образующихся комплексов. Ранее было показано, что стабилизация комплементарных комплексов как для олигонуклеотидов [13], так и МФАО [14] может быть достигнута путем введения в состав исследуемого олигомера остатка N-(2-гидроксиэтил)феназиния (Phn).

В данной работе для стабилизации комплексов МФАО и для повышения эффективности модификации ДНК-мишени алкилирующими производными МФАО предложено использовать эффекторы — олигонуклеотиды, имеющие на 3'- и 5'-концах остатки Pbn и комплементарные участку матрицы, соседнему с МФАО. Впервые влияние эффекторов — Pbn-содержащих олигонуклеотидов, повышающих степень сайт-специфической модификации ДНК-мишени, было обнаружено на примере алкилирования фрагмента ДНК с помощью алкилирующих производных природных олигонуклеотидов [15, 16].

Влияние эффектора на стабильность комплементарных комплексов, образованных МФАО и ДНК-матрицей, исследовали на простой модельной системе, состоящей из ДНК-матрицы  $C_5A_8ACAATG$  (I), метилфосфонатных аналогов октатимидилата  $Tp(TpTp)_3TpSCH_3$  (II $a$ , б), полученных в виде индивидуальных изомеров  $R_p$  (II $a$ ) и  $S_p$  (II $b$ ), и эффектора —  $PhNH(CH_2)_2NpCATTGTpNH(CH_2)_2NpPh$  (III) (см. схему 1, комплексы A1, A2). Для того чтобы оценить влияние метилфосфонатных остатков на исследуемые процессы, использовали также фосфодиэфирный октатимидилат, не содержащий в своем составе метилфосфонатных групп (комплекс A3, схема 1).

Схема 1



Результаты, полученные с использованием эфектора, сравнивали с данными, полученными ранее [17] на основе комплексов  $B_1 - B_3$  ( $B_1 = (IV) \cdot (IIa)$ ;  $B_2 = (IV) \cdot (IIb)$ ;  $B_3 = (IV) \cdot (IIc)$ ), образованных ДНК-матрицей  $C_5A_8C_5$  (IV) и октатимициллатами (IIa—в) соответственно, без использования эфектора.

На рис. 1 приведены дифференциальные кривые плавления изученных трехкомпонентных дуплексов А1 — А3. Значения температур плавления комплексов, образованных с участием (комpleксы А) и без участия (комpleксы Б) эффектора, суммированы в таблице.

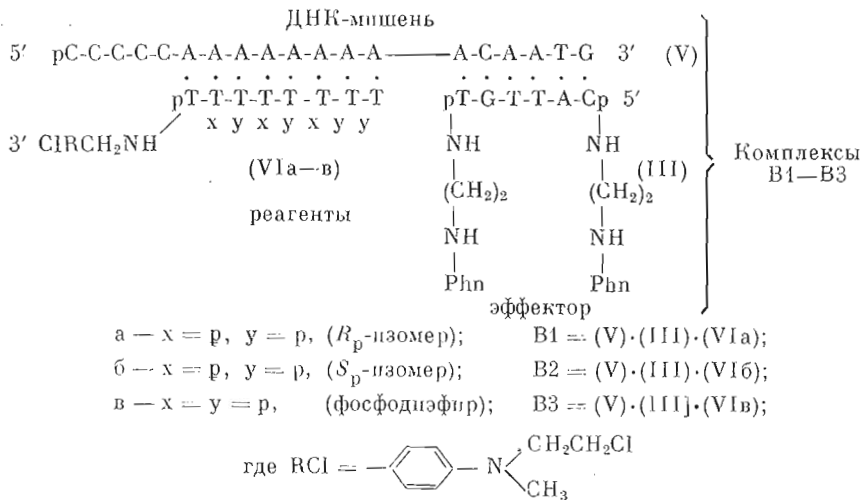
Из рис. 1 видно, что в случае  $R_p$ -изомера (IIa) на кривой термической денатурации комплекса имеется один максимум при  $33^\circ\text{C}$  (кривая I).

В случае  $S_p$ -изомера (IIб) (кривая 2) кривая термической денатурации имеет два максимума — при 10 и 44° С. Очевидно, что последний максимум можно отнести к денатурации комплементарного участка ДНК-матрица — эфектора, температура плавления которого в отсутствие октатимицилата составляет 44° С (кривая 4 на рис. 1). Отсюда следует, что максимум при 10° С на дифференциальной кривой плавления трехкомпонентного дуплекса А2 соответствует температуре плавления комплементарного участка ДНК-матрица — октатимицилата. Температура плавления аналогичного дуплекса Б2, образованного  $S_p$ -изомером (IIб) и олигонуклеотидом  $C_5A_8C_5$  (IV) в отсутствие эфектора, ниже 3° С [17], т. е. наличие эфектора приводит к заметной (более чем на 7° С) стабилизации комплементарного дуплекса, образованного с участием  $S_p$ -изомера (IIб) (ср. комплексы А2 и Б2 в таблице). Из той же таблицы видно, что в случае  $R_p$ -изомера (IIа) температура плавления дуплекса повышается с 20 до 33° С (ср. комплексы Б1 и А1 в таблице). Аналогичные закономерности по влиянию эфектора (III) на стабильность комплементарных комплексов получены для фосфодиэфирного октатимицилата (IIв) (ср. комплексы Б3 и А3 в таблице).

Таким образом, впервые продемонстрировано, что если сайты узнавания короткого олигонуклеотида и эфектора на ДНК-мишени расположены непосредственно рядом, то эфектор, не имеющий ковалентной связи с олигонуклеотидом, существенно влияет на стабильность комплементарного комплекса, образованного этим олигонуклеотидом.

Далее было проведено исследование модификации ДНК-мишени алкилирующими производными МФАО [17] в присутствии эфектора в условиях образования комплексов В1—В3 (схема 2).

Схема 2



Алкилированию подвергали 5'-<sup>32</sup>P-меченую ДНК-мишень (V) (которая отличается от матрицы (I) наличием в ней 5'-концевого фосфата) в присутствии эфектора (III) реагентами на основе  $R_p$ - и  $S_p$ -изомеров метилфосфонатного аналога октатимицилата (соединения (VIa) и (VIб) со-

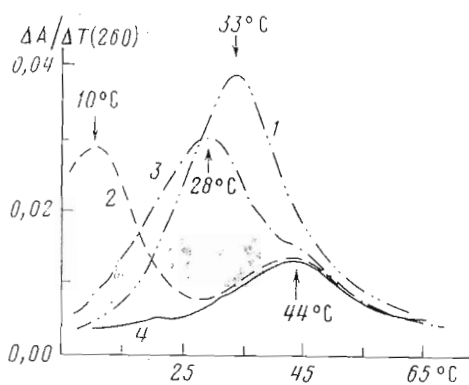


Рис. 1. Дифференциальные кривые термической денатурации комплексов А1 — А3, образованных ДНК-матрицей (I), октатимицилатаами (IIа—в) и эфектором (III). 1 — комплекс (I) · (IIа) · (III), 2 — (I) · (IIб) · (III), 3 — (I) · (IIв) · (III), 4 — (I) · (III) (комплекс ДНК-матрица — эфектор)

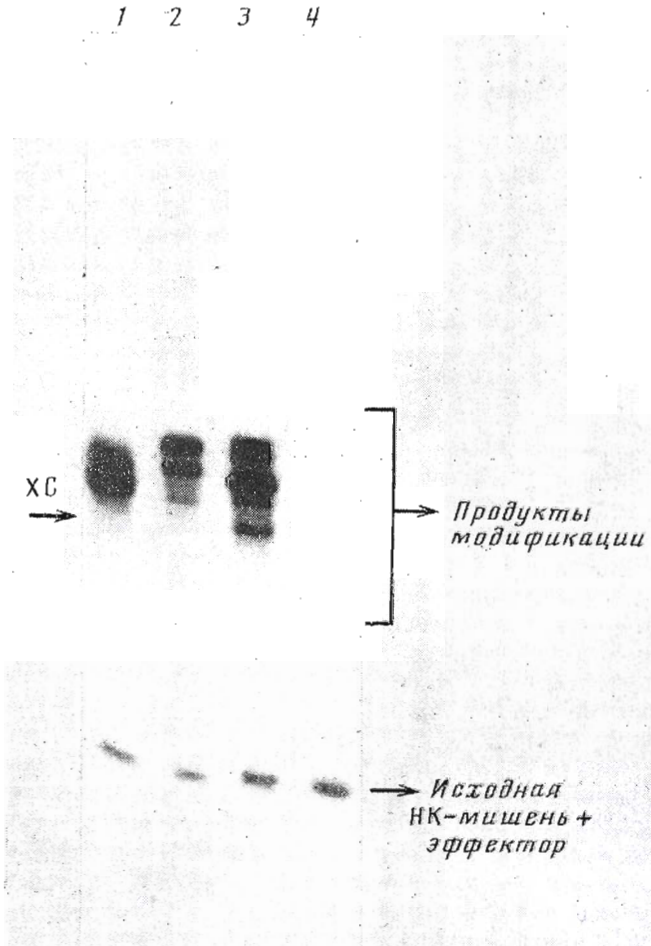


Рис. 2. Электрофорограмма (20% ПААГ, содержащий 7 М мочевину) продуктов алкилирования (20 сут, 8° С), 5'-<sup>32</sup>P-меченого олигонуклеотида (V) в присутствии эфектора (III) реагентами (VIIa—IV) (дорожки 1—3 соответственно). Дорожка 4 — исходный олигонуклеотид (V)

ответственно) и реагентами на основе фосфодиэфирного октатимидилата (VIb). Реакционную смесь подвергали электрофорезу в 20% ПААГ (рис. 2) и определяли предельную степень модификации ДНК-мишени.

Значения  $T_{\text{пл}}$  и  $\Delta T_{\text{пл}}$  комплементарных комплексов, образованных с участием (комpleксы А) и без участия (комpleксы Б\*) эфектора (III) в 0,2 М NaCl, 0,01 М MgCl<sub>2</sub>, 0,01 М трис-НCl (рН 7,4)  
Концентрация олигонуклеотидов 1·10<sup>-5</sup> М

Комплекс	Состав комплекса *	Конформация метилфосфонетного фрагмента в октатимидилатах	Эфектор	$T_{\text{пл}}^{**}$ , °С ( $\pm 0,5^{\circ}$ )	$\Delta T_{\text{пл}}$ , °С
А1	(I)+(III)+(IIa)	$R_D$	(+)	33	
Б1	(IV)+(IIa)	»	(—)	20	$\Delta > 7$
А2	(I)+(III)+(IIб)	$S_p$	(+)	10; 44	
Б2	(IV)+(IIб)	»	(—)	<3	
А3	(I)+(III)+(IIв)	Фосфодиэфир	(+)	28; 43 (плечо)	$\Delta t_3^2$
Б3	(IV)+(IIв)	»	(—)	45	—
	(I)+(III) (матрица+эфектор)		(+)	44	

\*  $T_{\text{пл}}$  комплексов Б1—Б3, образованных без участия эфектора, определена ранее [67] в условиях, идентичных примененным в настоящей работе. В качестве матрицы в данном случае был использован олигодезоксирибонуклеотид С<sub>6</sub>А<sub>6</sub>С<sub>6</sub> (IV).

\*\* Для значения  $T_{\text{пл}}$  означают два максимума на дифференциальной кривой плавления (см. рис. 1).

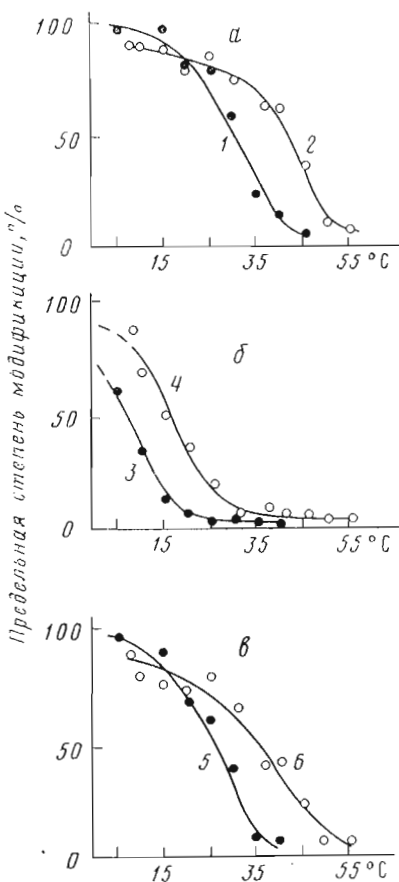


Рис. 3

Рис. 3. Температурные зависимости предельной степени модификации ДНК-мишени  $pC_5A_8C_5$  (VII) в отсутствие эфектора (1, 3, 5) и ДНК-мишени  $pC_5A_8ACAATG$  (V) в присутствии эфектора (III) (2, 4, 6): а — реагентом (VIa) ( $R_p$ -изомер), б — реагентом (VIb) ( $S_p$ -изомер), в — реагентом (VIIb) (фосфодиэфир)

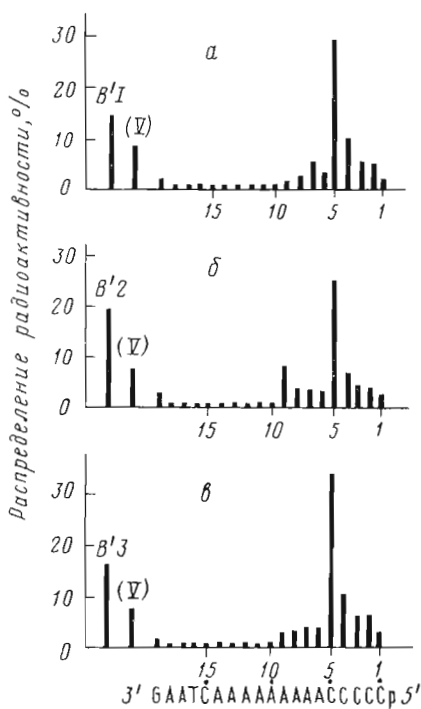


Рис. 4

Рис. 4. Гистограммы электрофорограмм продуктов расщепления  $5'$ - $^{32}P$ -меченого олигонуклеотида (V) по модифицированным основаниям при его алкилировании октатимидилатными реагентами (VIa—в) в присутствии эфектора (III) в условиях образования комплексов В1, В2, В3 (а—в соответственно). (Расщепление олигонуклеотида (V) по модифицированным основаниям проводили последовательной обработкой модифицированного олигонуклеотида гидразингидратом и липеридином, см. текст.) Числа на оси абсцисс обозначают номер основания с  $5'$ -конца олигонуклеотида. В'1—В'3 — продукты модификации, не подвергающиеся расщеплению

На рис. 3 приведены кривые зависимости предельной степени модификации ДНК-мишени (V) всеми исследованными реагентами (кривые 2, 4, 6) от температуры в присутствии эфектора. Для сравнения здесь же приведены кривые модификации ДНК-мишени  $pC_5A_8C_5$  (VII) теми же реагентами (VIa—в) в отсутствие эфектора (рис. 3, 1, 3, 5), полученные ранее в работе [18].

Как видно из рисунка, эфектор повышает предельную степень модификации ДНК-мишени в широком диапазоне температур для диастереомеров  $R_p$  и  $S_p$  (рис. 3а, б), а также реагентов на основе природных фосфодиэфиров (рис. 3в). Например, при  $40^\circ C$  в случае реагента на основе  $R_p$ -изомера предельная степень модификации мишени возрастает в 5—6 раз (рис. 3а, кривая 2) по сравнению с системой, где эфектор отсутствует (рис. 3а, кривая 1). Существенное различие наблюдается и для реагента на основе  $S_p$ -изомера, однако этот эффект проявляется при более низких температурах ( $\sim 15^\circ C$ ) (рис. 3б).

На примере комплексов В1—В3 (схема 2) была рассмотрена позиционная направленность алкилирования ДНК-мишени в присутствии эфектора реагентами на основе МФАО (комплексы В1, В2) и фосфодиэфирного октатимидилата (комплекс В3).

На рис. 4 $a$ — $\sigma$  приведены гистограммы продуктов расщепления ДНК-мишени (V) по алкилированным основаниям при модификации мишени в исследуемых комплексах В1—В3. (Расщепление ДНК-мишени по алкилированным основаниям проводили последовательной обработкой модифицированной мишени гидразингидратом и пиперидином). Из этих рисунков видно, что при модификации ДНК-мишени как производными метилfosfonatных аналогов октатимидилата (рис. 4 $a$ ,  $b$ ), так и производными фосфодиэфирного октатимидилата (рис. 4 $\sigma$ ) алкилированию подвергаются основания мишени, расположенные вблизи реакционноспособной группировки (см. комплексы В1—В3, схема 2). Главным местом модификации во всех случаях является основание С<sup>5</sup>-нуклеотида мишени. Кроме того, затрагиваются близлежащие к С<sup>5</sup> нуклеотиды С<sup>1</sup>-А<sup>9</sup>. Аналогичное расширение основного локуса алкилирования (нуклеотиды С<sup>1</sup>-А<sup>9</sup>) наблюдалось и ранее [1] при модификации ДНК-мишени рС<sub>5</sub>А<sub>8</sub>С<sub>5</sub> (VII) реагентами, содержащими на 5'-конце остаток Phn, а алкилирующую группировку — на 3'-конце цепи. Ранее [1, 18] наблюдались также продукты модификации, не подвергающиеся расщеплению; эти соединения при модификации в присутствии эфектора обозначены как В'1—В'3 (рис. 4), их структура нами не установлена. Поскольку вблизи с реакционноспособной группировкой в комплексах В1—В3 расположен еще один нуклеофильный центр (5'-концевая фосфатная группа ДНК-мишени), способный в этих условиях подвергаться алкилированию [19], можно предположить, что соединение В'1 — В'3 — продукты модификации 5'-концевой фосфатной группы мишени. Это предположение требует специальных исследований. Результаты же, полученные в данной работе, свидетельствуют, что позиционная направленность алкилирования ДНК-мишени в присутствии эфектора алкилирующими реагентами на основе МФАО практически не отличается от позиционной направленности алкилирования реагентами на основе природных олигонуклеотидов, поскольку аналогичное МФАО (рис. 4 $a$ ,  $b$ ) распределение продуктов модификации наблюдается и в случае фосфодиэфирного октатимидилата, не содержащего метилfosfonatных остатков (рис. 4 $\sigma$ ).

Таким образом, олигонуклеотидные эфекторы, содержащие два остатка N-(2-гидроксиэтил)феназиния, могут быть использованы для повышения эффективности модификации ДНК-мишени не только в случае реагентов на основе природных фосфодиэфирных олигонуклеотидов [15, 16], но и в случае реагентов на основе МФАО. Роль эфекторов в этих случаях состоит в стабилизации комплементарных комплексов, образованных ДНК-мишенью и реагентом.

Повышение эффективности алкилирования в случае МФАО как для R<sub>p</sub><sup>-</sup>, так и S<sub>p</sub>-изомеров имеет особое значение, поскольку открывает возможность более эффективного использования неразделенной смеси изомеров, получаемой при синтезе МФАО, а также позволяет эффективно воздействовать на НК-мишень короткими, т. е. более доступными, метилfosfonatными олигомерами.

### Экспериментальная часть

Синтез и основные характеристики использованных в работе олигонуклеотидов и их алкилирующих производных описаны ранее [14, 17]. <sup>32</sup>P-Меченный олигонуклеотид (V) получали по методике [11].

Кривые плавления комплементарных комплексов олигонуклеотидов (0,2 М водный раствор NaCl, 0,01 М трис-HCl (pH 7,4), 0,01 М MgCl<sub>2</sub>) регистрировали с помощью специальной установки, созданной на базе микроспектрофотометра «Объ-4» и микро-ЭВМ «Искра-226». Концентрации олигонуклеотидов в растворе во всех случаях составляли 1·10<sup>-5</sup> М.

5',3'-бис-N-(2-гидроксиэтил)феназиниевое производное олигонуклео-

тида (III) синтезировано по методике [13] исходя из гексануклеотида pCATTGГр, полученного триэфирным методом в растворе [20]. Олигонуклеотид (I) синтезирован твердофазным фосфитамидным методом на синтезаторе «Виктория 4М» [21].

Модификацию ионануклеотидной мишени (V) реакционноспособными производными (VI<sub>a</sub>—в) в присутствии эффектора (III) проводили аналогично ранее описаным методикам [18, 19] в буфере, содержащем 0,2 М NaCl, 0,01 М трис-HCl (рН 7,4), 0,01 М MgCl<sub>2</sub>. Концентрации реагентов и эффектора в реакционной смеси составляли 2·10<sup>-5</sup> М, олигонуклеотида (V) — 1·10<sup>-5</sup> М.

Термические кривые модификации (рис. 3) построены исходя из значений предельной степени модификации олигонуклеотида (V) соответствующими реагентами (VI<sub>a</sub>—в) в зависимости от температурного режима реакции. Реакционную смесь, содержащую реагент, <sup>32</sup>P-меченный олигонуклеотид и эффектор, выдерживали при 8, 10, 15, 20, 25, 30, 35, 40, 45, 50 и 55° С в течение 20, 10, 5 сут; 60; 29; 14; 8,5; 4,8; 2,4; 1,2 и 0,6 ч соответственно (время, составляющее более пяти периодов полупревращения реагента в активную промежуточную частьцу [22]). Далее реакционные смеси подвергали электрофорезу в 20% ПААГ, содержащем 7 М мочевину (рис. 2). По отношению радиоактивности продуктов модификации к сумме радиоактивности продуктов модификации и исходного немодифицированного олигонуклеотида (V) определяли предельную степень модификации ДНК-мишени (рис. 3, 2, 4, 6). Кривые 1, 3, 5 (рис. 3) были получены ранее в работе [18].

Позиционную направленность алкилирования олигонуклеотида (V) реагентами (VI<sub>a</sub>—в) (рис. 4) определяли аналогично описанным ранее методикам [18, 19]. Реакционную смесь, содержащую олигонуклеотид (V), эффектор (III) и соответствующие реагенты (VI<sub>a</sub>—в), выдерживали 20 сут при 8° С, подвергали расщеплению по остаткам алкилированных пуринов и по остаткам N3-алкилцитидинов. Расщепление модифицированного ионануклеотида по остаткам алкилированных пуринов проводили при 95—100° С 1 М пиперидином [23] в течение 10—16 ч, по остаткам N3 —алкилцитидинов — обработкой модифицированной мишени смесью гидразингидрат — диоксан — вода (2 : 1 : 1 по объему) в течение 1,5—2 ч при 0° С с последующей обработкой пиперидином, как описано в работе [24]. По завершении указанных процедур олигонуклеотидный материал наносили на 20% ПААГ, содержащий 7 М мочевину, и подвергали электрофоретическому разделению. Полосы, соответствующие радиоактивным продуктам, вырезали и содержание радиоактивности измеряли в воде по Черенкову. Относительную степень модификации (%) определенного основания ДНК-мишени при ее алкилировании различными реагентами (рис. 4<sub>a</sub>—в) рассчитывали по отношению радиоактивности в соответствующей полосе геля к сумме радиоактивности во всех полосах.

Авторы выражают благодарность С. Г. Лохову за помощь при плавлении комплементарных комплексов олигонуклеотидов.

#### СПИСОК ЛИТЕРАТУРЫ

1. Амирханов Н. В., Зарытова В. Ф. // Биоорган. химия. 1990. Т. 16. № 3. С. 370—378.
2. Miller P. S., Yano J., Yano E., Carroll C., Jayaraman K., Ts'О P. O. P. // Biochemistry. 1979. V. 18. № 23. P. 5134—5143.
3. Miller P. S., Dreon N., Pulford S. M., McParland K. // J. Biol. Chem. 1980. V. 255. № 20. P. 9659—9665.
4. Miller P. S., McParland K. B., Jayaraman K., Ts'О P. O. P. // Biochemistry. 1981. V. 20. № 7. P. 1874—1880.
5. Jayaraman K., McParland K., Miller P. S., Ts'О P. O. P. // Proc. Nat. Acad. Sci. USA. 1981. V. 78. № 3. P. 1537—1541.
6. Marcus-Secure C. J., Worner A. M., Shinotsuka K., Zon G., Quinnon Jr G. V. // Nucl. Acids Res. 1987. V. 15. № 14. P. 5749—5764.
7. Agris C. H., Blake K. R., Miller P. S., Reddy M. P., Ts'О P. O. P. // Biochemistry. 1986. V. 25. № 20. P. 6268—6275.
8. Miller P. S., Agris C. H., Aurelian L., Blake K. R., Murakami A., Reddy M. P., Spitz S. A., Ts'О P. O. P. // Biochimie. 1985. V. 67. № 7/8. P. 769—776.

9. Blake K. P., Murakami A., Spitz S. A., Glave S. A., Reddy M. P., Ts' O P. O. P., Miller P. S. // Biochemistry. 1985. V. 24. № 22. P. 6139—6145.
10. Blake K. R., Murakami A., Miller P. S. // Biochemistry. 1985. V. 24. № 22. P. 6132—6138.
11. Murakami A., Blake K. R., Miller P. S. // Biochemistry. 1985. V. 24. № 15. P. 4041—4046.
12. Miller P. S., Anman N. D., McParland K. B., Pulford S. M. // Biochemistry. 1982. V. 21. № 10. P. 2507—2512.
13. Зарытова В. Ф., Кутягин И. В., Сильников В. Н., Шишкин Г. В. // Биоорган. химия. 1986. Т. 12. № 7. С. 911—920.
14. Амирханов Н. В., Зарытова В. Ф., Левина А. С., Лохов С. Г. // Биоорган. химия. 1989. Т. 15. № 12. С. 1618—1626.
15. Kutyavin I. V., Podyminogin M. A., Bazhina Yu. N., Fedorova O. S., Knorre D. G., Levina A. S., Mamayev S. V., Zarytova V. F. // FEBS Letters. 1988. V. 238. № 1. P. 35—38.
16. Зарытова В. Ф., Кутягин И. В., Левина А. С., Малаев С. В., Подыминогин М. А. // Докл. АН СССР. 1988. Т. 302. № 1. С. 102—105.
17. Амирханов Н. В., Зарытова В. Ф. // Биоорган. химия. 1989. Т. 15. № 2. С. 267—276.
18. Амирханов Н. В., Зарытова В. Ф. // Биоорган. химия. 1989. Т. 15. № 3. С. 379—386.
19. Зарытова В. Ф., Кутягин И. В., Подыминогин М. А., Сильников В. Н., Шишкин Г. В. // Биоорган. химия. 1987. Т. 13. № 9. С. 1212—1220.
20. Зарытова В. Ф., Иванова Е. М., Романенко В. П. // Биоорган. химия. 1983. Т. 9. № 4. С. 518—524.
21. Грязнов С. М., Горн В. В., Зарытова В. Ф., Кумарев В. П., Левина А. С., Поплищук А. С., Потапов В. К., Потемкин Г. А., Средин Ю. Т., Шабарова З. А. // Изв. СО АН СССР. Сер. хим. наук. 1987. Вып. 1. № 2. С. 119—123.
22. Гринева Н. И., Ломакина Т. С., Тигеева Н. Г., Чумитова Т. А. // Биоорган. химия. 1977. Т. 3. № 2. С. 210—214.
23. Maxam A. M., Gilbert W. // Meth. Enzymol. 1980. V. 65. P. 499—560.
24. Kirkegaard K., Bus H., Spassky A., Wang J. C. // Proc. Nat. Acad. Sci. USA. 1983. V. 80. № 9. P. 2544—2548.

Поступила в редакцию  
17.VIII.1989

После доработки  
20.II.1990

N. V. AMIRKHANOV, V. F. ZARYTOVA, A. S. LEVINA  
**REACTIVE OLIGONUCLEOTIDE DERIVATIVES BEARING  
 METHYLPHOSPHONATE GROUPS**

**VI. THE INCREASE IN THE EFFICIENCY OF DIRECTED EFFECT  
 OF THE ALKYLATING METHYLPHOSPHONATE OLIGODEOXYRIBONUCLEOTIDE  
 DERIVATIVES ON NUCLEIC ACIDS IN THE PRESENCE OF EFFECTORS,  
 3', 5'-bis-N-(2-HYDROXYETHYL)PHENAZINIUM DERIVATIVES  
 OF OLIGODEOXYRIBONUCLEOTIDES**

*Novosibirsk Institute of Bioorganic Chemistry,  
 Siberian Division, Academy of Sciences of the USSR*

Effectors for increasing the efficiency of DNA modification with the alkylating methylphosphonate analogues of oligodeoxyribonucleotides (MFAO) were suggested. Oligodeoxyribonucleotide d(pC<sub>5</sub>A<sub>8</sub>ACAATG) used as a target DNA treated with alkylating derivatives of octathymidylate having alternating methylphosphonate and phosphodiester internucleotide bonds (both *R*<sub>p</sub>- and *S*<sub>p</sub>-individual diastereoisomers of MFAO were used) and bearing alkylating 4-(N-methyl-N-2-chloroethylamino)benzyl phosphoramido residue at the 3'-end. The reactions were carried out in the presence of an effector, hexadeoxyribonucleotide derivative PhNH(CH<sub>2</sub>)<sub>2</sub>NH<sub>2</sub>CATTGTpNH(CH<sub>2</sub>)<sub>2</sub>NHPh bearing two N-(2-hydroxyethyl)phenazinium (Phn) residues at the 3'- and 5'-ends and being complementary to the part of the target DNA neighbouring with octaadenylate. It was shown that *T*<sub>m</sub> of the duplex formed by the target DNA, octathymidylate and effector is by 7—13° C higher than in the absence of the effector, thus considerably increasing the efficiency of the intracomplex alkylation of the target (e. g., at 40° C, the increase for the reagent based on the *R*<sub>p</sub>-isomer is sixfold). Specificity of the target DNA modification by the MFAO alkylating derivatives in the presence of effector is same as with reagents based on oligodeoxyribonucleotides with natural internucleotide bonds.